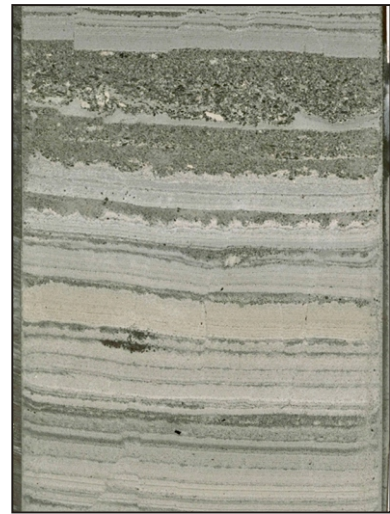


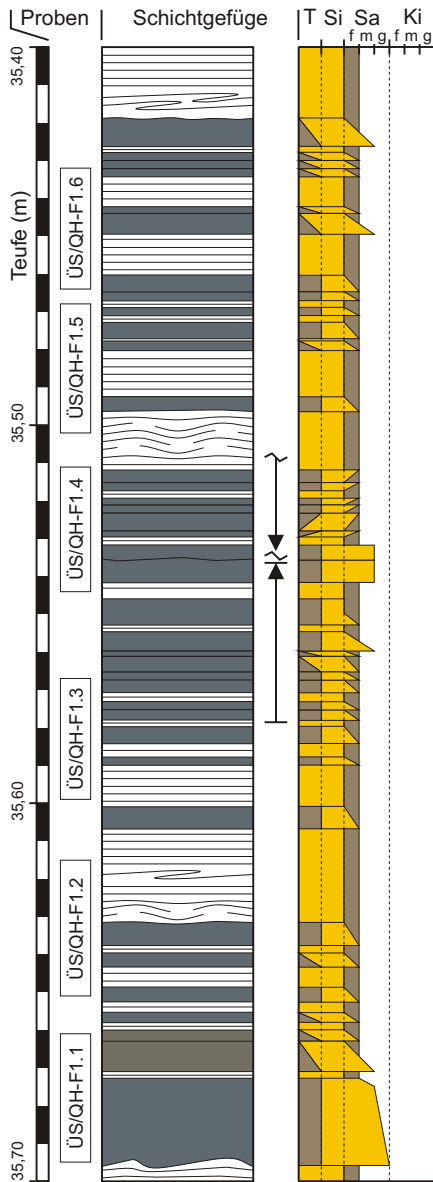
Detailprofil ML/Q-F1

Lithofazieszone 1: Minerogene Laminite
 Mikrofazieszone 1a: Quarz-Fazies
 Bohrung: Eckfeld 3/96, Kernmarsch 29

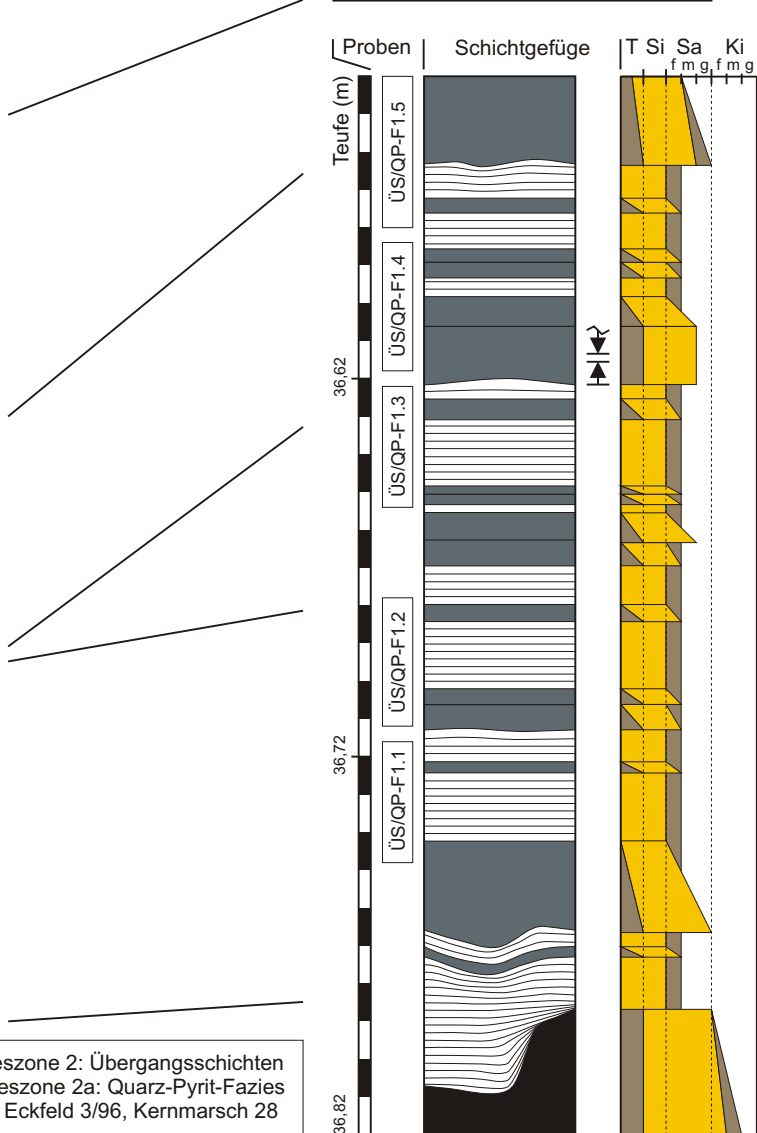
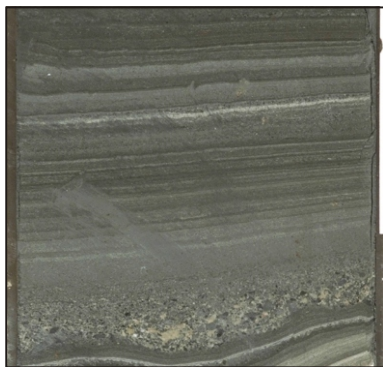


Legende

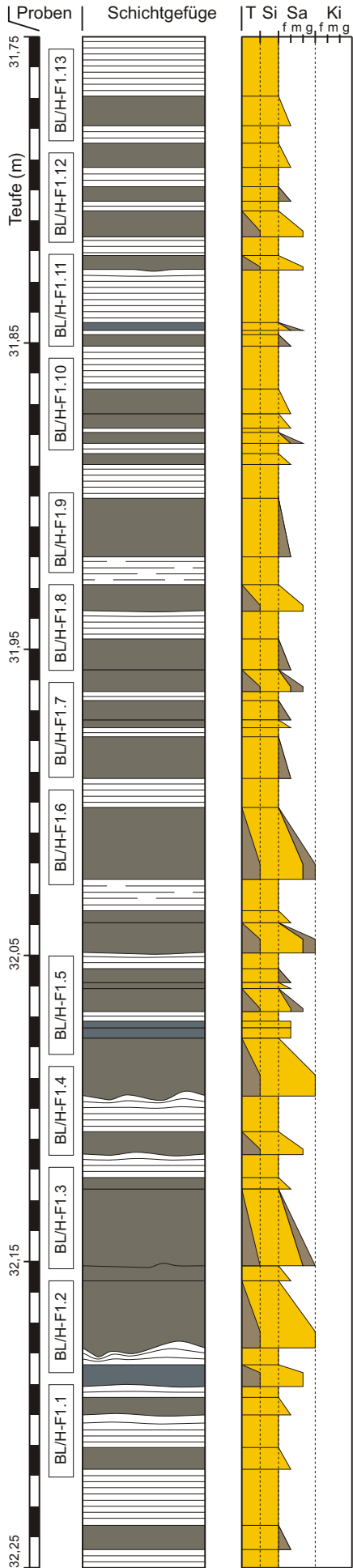
	ebene Parallel-Lamination		Typ-I-Resediment
	unterbrochen ebene Parallel-Lamination		Typ-II-Resediment
	wellige Parallel-Lamination		Typ-III-Resediment
	unterbrochen wellige Parallel-Lamination		Apatit-Konkretion
	Synsedimentäre Faltung		Hauptgemengteil
	Diskordanz		Nebengemengteil



Detailprofil ÜS/QH-F1
 Lithofazieszone 2: Übergangsschichten
 Mikrofazieszone 2b: Quarz-Huminit-Fazies
 Bohrung: Eckfeld 3/96, Kernmarsch 28



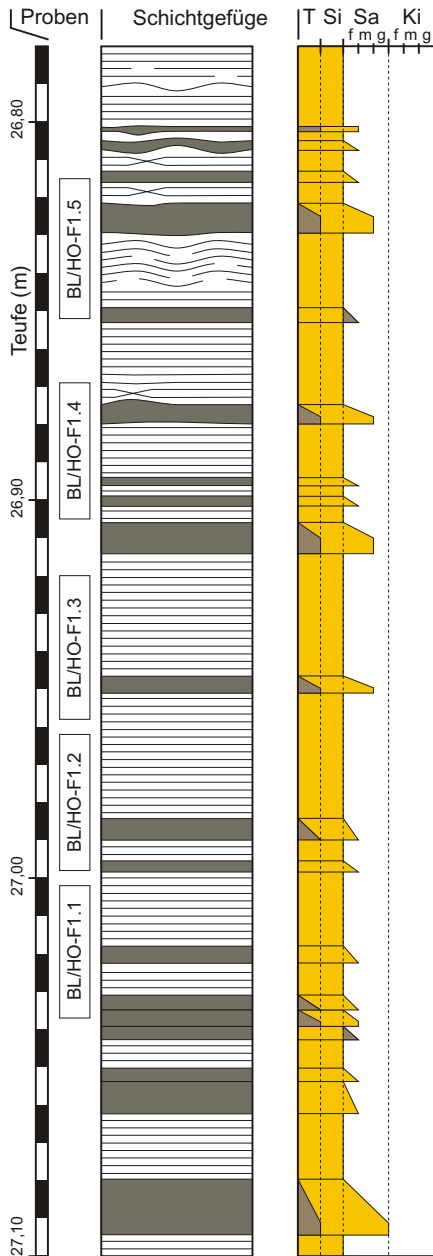
Detailprofil ÜS/QP-F1
 Lithofazieszone 2: Übergangsschichten
 Mikrofazieszone 2a: Quarz-Pyrit-Fazies
 Bohrung: Eckfeld 3/96, Kernmarsch 28



Detailprofil BL/H-F1

Lithofazieszone 3: Biogene Laminite
 Mikrofazieszone 3a: Huminit-Fazies
 Bohrung: Eckfeld 3/96, Kermarsch 26





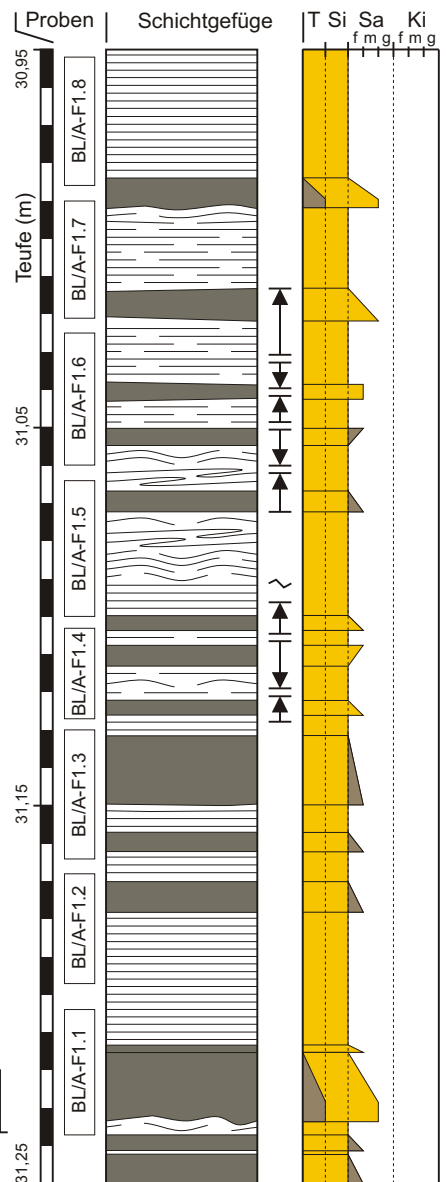
Detailprofil BL/HO-F1

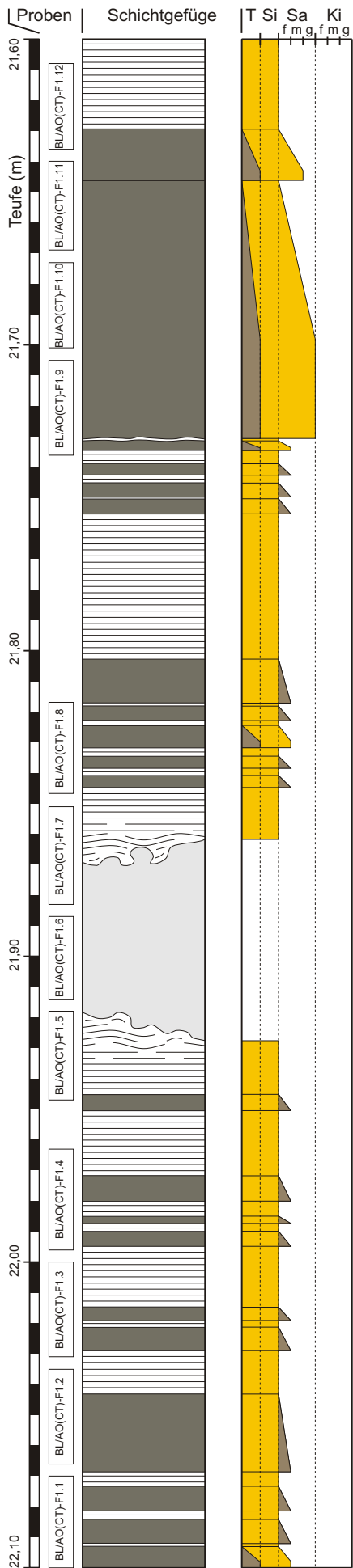
Lithofazieszone 3: Biogene Laminite
Mikrofazieszone 3c: Huminit-Opal-Fazies
Bohrung: Eckfeld 3/96, Kernmarsch 24



Detailprofil BL/A-F1

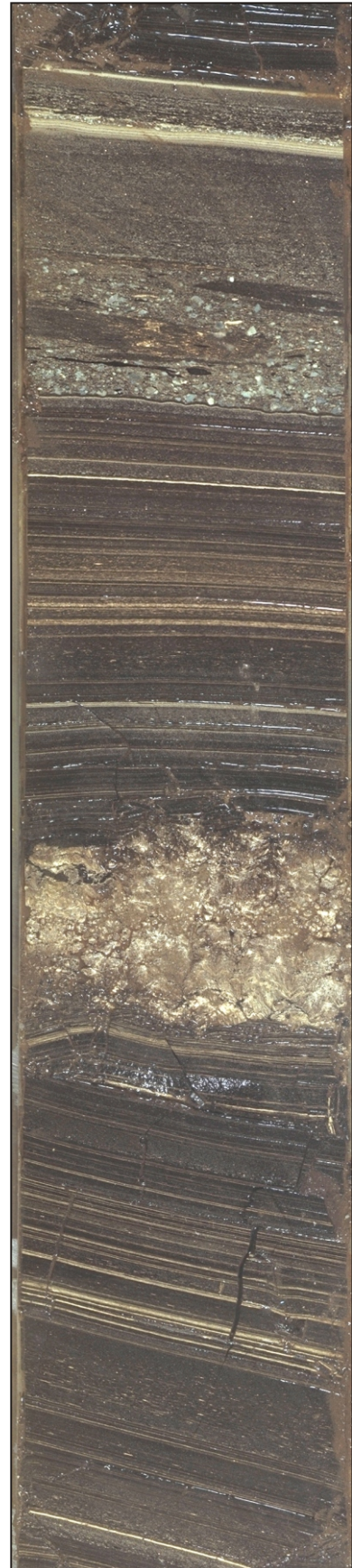
Lithofazieszone 3: Biogene Laminite
Mikrofazieszone 3b: *Aulacoseira*-Fazies
Bohrung: Eckfeld 3/96, Kernmarsch 26

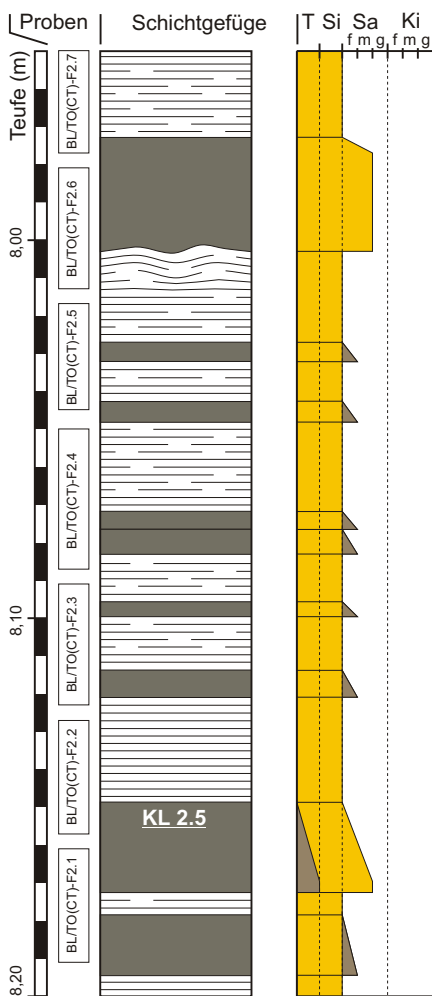




Detailprofil BL/AO(CT)-F1

Lithofazieszone 3: Biogene Laminite
 Mikrofazieszone 3d: *Aulakoseira*-Opal(CT)-Fazies
 Bohrung: Eckfeld 3/96, Kernmarsch 21





Detailprofil BL/TO(CT)-F2
 Lithofazieszone 3: Biogene Laminite
 Mikrofazieszone 3e: *Tetraedron-Opal*(CT)-Fazies
 Bohrung: Eckfeld 3/96, Kernmarsch 9



Detailprofil BL/TO(CT)-F1
 Lithofazieszone 3: Biogene Laminite
 Mikrofazieszone 3e: *Tetraedron-Opal*(CT)-Fazies
 Bohrung: Eckfeld 3/96, Kernmarsch 17

